

# Monitoring armaturnog čelika u betonu

Dalibor Sekulić, Dubravka Bjegović, Dunja Mikulić

## Ključne riječi

*armatura, beton, korozija armature, brzina korozije, metode ispitivanja, procjena korozije, vijek trajanja*

## Key words

*reinforcement, concrete, reinforcement corrosion, rate of corrosion, test methods, corrosion estimate, service life*

## Mots clés

*armature, béton, corrosion de l'armature, vitesse de corrosion, méthodes des essais, évaluation de la corrosion, durée de vie*

## Schlüsselworte:

*Bewehrung, Beton, Bewehrungskorrosion, Korrosionsgeschwindigkeit, Untersuchungsmethoden, Korrosionsabschätzung, Dauer*

D. Sekulić, D. Bjegović, D. Mikulić

Pregledni rad

## Monitoring armaturnog čelika u betonu

*Dan je pregled aktualnih metoda kojima se određuje stanje armature u betonu. Istiće se da je od velike važnosti detektirati koroziju dok njene posljedice još nisu vidljive, a također procijeniti utjecaj korozije armature na nosivost i uporabljivost armiranobetonskih konstrukcija. Upozorava se da je određivanje korozije čelika u betonu vrlo složen problem, pri čemu se često dolazi do krivih interpretacija. Za pouzdano zaključivanje nužno je kombinirati više metoda mjerena.*

D. Sekulić, D. Bjegović, D. Mikulić

Subject review

## Monitoring behavior of reinforcement embedded in concrete

*An overview of current methods for determining condition of reinforcing bars embedded in concrete is presented. It is emphasized that a high significance should be given to early detection of corrosion i.e. before its effects become visible, and to determination of the influence the steel corrosion has on the bearing capacity and usability of reinforced-concrete structures. Authors caution that determination of steel corrosion in concrete is a very complex issue where false interpretations are quite common. Several measurement methods should be combined to make reliable conclusions.*

D. Sekulić, D. Bjegović, D. Mikulić

Ouvrage de synthèse

## Monitorage de l'acier d'armature dans le béton

*On donne un aperçu des méthodes actuelles permettant la détermination de l'état de l'armature dans le béton. On souligne l'importance de la détection de la corrosion alors que ses conséquences ne sont pas encore visibles, ainsi que de l'évaluation des effets de la corrosion sur la capacité portante et la possibilité d'usage des constructions en béton armé. On signale que la détermination de la corrosion de l'acier dans le béton présente un problème très complexe, qui donne lieu souvent à des interprétations erronées. Plusieurs méthodes de mesures doivent être combinées pour une bonne fiabilité.*

D. Sekulić, D. Bjegović, D. Mikulić

Übersichtsarbeit

## Monitoring der Bewehrung im Beton

*Vorgelegt ist ein Überblick der aktuellen Methoden für die Feststellung des Zustandes der Bewehrung im Beton. Hervorgehoben ist die Wichtigkeit der Entdeckung der Korrosion bevor deren Folgen sichtbar werden, ebenso der Abschätzung des Einflusses der Bewehrungskorrosion auf die Tragfähigkeit und Brauchbarkeit der Stahlbetonkonstruktionen. Es wird darauf hingewiesen dass die Feststellung der Stahlkorrosion im Beton ein kompliziertes Problem vorstellt, wobei es oft zu falschen Interpretationen kommt. Zuverlässige Schlüsse erreicht man durch Kombination mehrerer Messungsmethoden.*

Autori: **Dalibor Sekulić**, dipl. ing. fizike., Institut građevinarstva Hrvatske, Zagreb; prof. dr. sc. **Dubravka Bjegović**, dipl. ing. građ., Sveučilište u Zagrebu Građevinski fakultet; prof. dr. sc. **Dunja Mikulić**, dipl. ing. fizike., Građevinski fakultet Sveučilišta "Josipa Jurja Strossmayera" u Osijeku

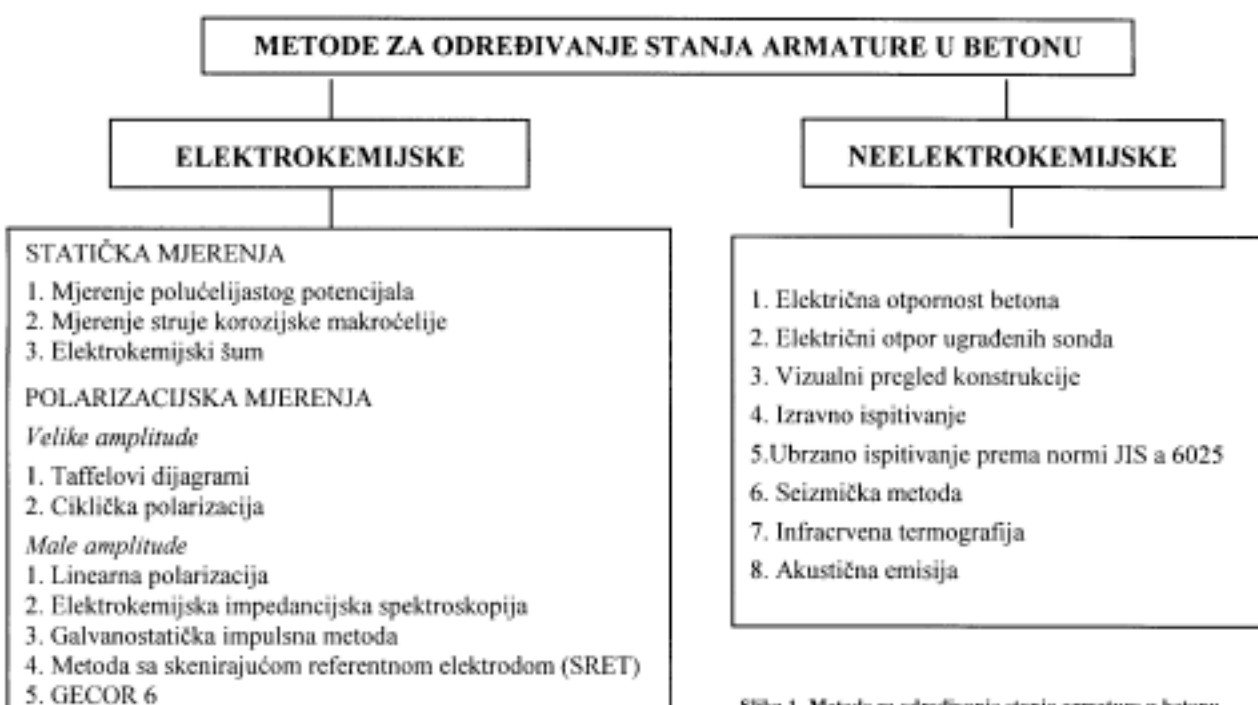
## 1 Uvod

Problem propadanja armiranobetonskih konstrukcija zbog procesa korozije armaturnog čelika vrlo je ozbiljan i ima velike ekonomske posljedice. Novougrađeni beton zbog svoje alkaličnosti čini površinu armature pasivnom i sprječava koroziju. Međutim, ako se pH vrijednost porne vode u betonu smanji, dolazi do depasivacije površine čelika i do korozije. To se događa zbog, primjerice prodora iona klora iz okoline u beton ili zbog reakcije s atmosferskim CO<sub>2</sub> (karbonatizacija). Produkti korozije zauzimaju veći obujam nego čelik, što uzrokuje vlačna naprezanja u betonu. Ako su vlačna naprezanja u betonu veća od vlačne čvrstoće betona, rezultat je pucanje betona i ljuštenje kore betona. Na mjestima stvaranja pukotina dolazi do pojačanog prodora iona klora i povećane difuzije kisika i ugljičnog dioksida. To daje glavni doprinos smanjivanju pH vrijednosti porne vode i uzrokuje daljnje uništavanje pasivnog filma ( $\gamma Fe_2O_3$ ) koji je početno štitio čelik. Na taj način dolazi do dalnjeg širenja korozije. Zbog sloma pasivnog filma na određenim područjima armature dolazi do pojave točkaste korozije što uzrokuje stvaranje mjesta na armaturi s koncentriranim naprezanjima. Osim toga, formiranje pukotina vodi stvaranju galvanskih čelija i opaža se korozija na izloženim površinama čelika koje djeluju kao anodna područja u odnosu prema neizloženim površinama (katodna područja). Točkasta korozija i formiranje galvanskih makročelija stvaraju male gubitke metala, no nastaju područja s visokim koncentracijama naprezanja. Zbog korozije dolazi do smanjenja presjeka armature i time do smanjenja nosivosti konstrukcije.

Detektiranje i mjerjenje defekata u fazi razvoja korozije, kada još nije moguće vizualno uočavanje pukotina na konstrukciji jedna je od glavnih zadaća istraživača korozije armiranobetonskih konstrukcija. U ovom radu opisane su metode kojima se utvrđuje stanje armature u konstrukcijama na osnovi kojeg se može procijeniti vijek armiranobetonskih konstrukcija. Također je dan pregled aktualnih metoda koje se primjenjuju pri karakterizaciji korozije armaturnog čelika u betonu (slika 1. i tablica 1.).

Tablica 1. Podjela metoda za određivanje stanja armature u betonu prema primjeni

LABORATORIJSKE METODE	IN SITU METODE
Mjerjenje struje korozionske makročelije	Mjerjenje polučelijastog potencijala
Elektrokemijski šum	Linearna polarizacija
Taffelovi dijagrami	Galvanostatička impulsna met.
Ciklička polarizacija	GECOR 6
Metoda sa skenirajućom referentnom elektrodom (SRET)	Električna otpornost betona
Izravno ispitivanje	Električni otpor ugrađenih sonda
Ubrzano ispitivanje prema normi JIS a 6025	Vizualni pregled konstrukcije
Elektrokemijska impedancijska spektroskopija	Seizmnička metoda
Mjerjenje struje korozionske makročelije	Infracrvena termografija
	Akustična emisija



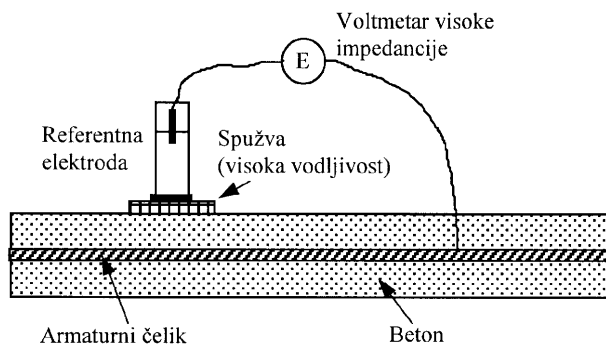
Slika 1. Metode za određivanje stanja armature u betonu

## 2 Elektrokemijske metode

### 2.1 Statička mjerena

#### 2.1.1 Mjerene polućelijastog potencijala

Princip metode sastoji se u pojavi razlike potencijala između armaturnog čelika i referentne elektrode koja se naziva polućeljom. Polućelija je uglavnom vrlo jednostavna naprava i sastoji se od šipke od čistog metala koji je uronjen u otopinu svojih vlastitih iona (slika 2.). Uloga polućelije je da osigura konstantni potencijal koji je referentna točka u odnosu prema kojoj se mjeri potencijali. Najčešće rabljena polućelija jest bakar - bakreni sulfat. Bakar je povezan s armaturnim čelikom preko voltmetra, a otopina bakrenog sulfata je preko vlažne spužve spojena s pornom vodom. Na taj se način dobije elektrokemijska celijska baterija (baterija), a voltmetar visoke impedancije mjeri napon.

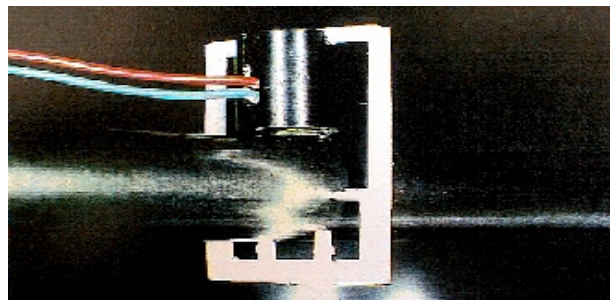


Slika 2. Mjerene potencijala metodom polućelje

Metoda mjerene polućelijastog potencijala zasnovana je na brojnim mjerenjima potencijala s otvorenim strujnim krugom i korelaciji tih potencijala sa stvarnim opaženim stupnjem korozije na armaturi. Najčešće se primjenjuju kriteriji prema normi ASTM C 876 gdje se polućelasti potencijali mjeru  $Cu/CuSO_4$  referentnom elektrodom (tablica 2.), a dani su i za kalomel i  $Ag/AgCl$  elektrode [1].

Stvarna raspodjela potencijala na vanjskoj površini betona nije ista kao potencijal u betonu koji je u neposrednom kontaktu s površinom čelika. Prostorna rezolucija ove metode ovisi o električnom otporu betona i o debљini betonskoga zaštitnog sloja. Distribucija potencijala

postaje šira i stoga slabije definirana na vanjskoj površini betona [2]. Takvo ponašanje sistema može biti objašnjeno zašto katkad mjerena potencijala daju krive rezultate. Da bi se izbjegle ove teškoće, u beton se mogu ugraditi senzori za mjerene polućelijastog potencijala [3], ili kroz izbušene rupe, ili prije ugradnje betona. Na taj se način omogućava mjerene potencijala u neposrednoj blizini armature čime se eliminira utjecaj sloja betona između senzora i armature na potencijal. Metoda omogućuje mnogo bolju prostornu rezoluciju u odnosu prema metodama sa senzorima na površini betona (slika 3.).



Slika 3. Smještaj minisenzora za mjerene potencijala

#### 2.1.2 Mjerene struje korozijske makroćelije

Tijekom korozijskog procesa formiraju se korozijske celijske. Korozijske makroćelije karakteriziraju se kao raspodjela anodnih i katodnih područja s određenim područjima lokalne korozije. Lokalne razlike u debљini pokrova betona, propusnosti betona i ostali faktori uzrokuju promjene u razlikama potencijala između susjednih dijelova čelične armature, što vodi stvaranju korozijskih makroćelija [4]. Napon  $\Delta U$  u makroćelijskom elementu jednak je razlici potencijala između aktivnog i pasivnog čelika i može premašiti 0,5 V. Zbog ove razlike potencijala može doći do toka struje:

$$I = \Delta U / (R_E + R_A + R_C) \quad (1)$$

gdje je:

$I$  - tok struje ( $\mu A$ )

$\Delta U$  - napon u makroćelijskom elementu ( $mV$ )

$R_E$  - električni otpor betona ( $\Omega$ )

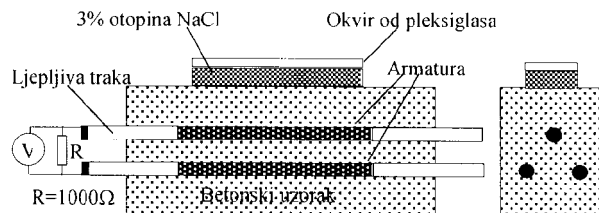
$R_A$  - električni otpor anodne reakcije ( $\Omega$ )

$R_C$  - električni otpor katodne reakcije ( $\Omega$ )

Tablica 2. Kriteriji za procjenu korozije armature prema polućelijastim potencijalima za različite tipove polućelija

$Cu/CuSO_4$	Kalomel (SCE)	$Ag/AgCl$	Interpretacija
$E > -200\text{mV}$	$E > -126\text{mV}$	$E > -119\text{mV}$	Vrlo velika vjerojatnost (90%) da nema korozije
$-200\text{mV} < E < -350\text{mV}$	$-126\text{mV} < E < -276\text{mV}$	$-119\text{mV} < E < -269\text{mV}$	Neodređenost ima li korozije ili ne
$E < -350\text{mV}$	$E < -276\text{mV}$	$E < -269\text{mV}$	Vrlo velika vjerojatnost (90%) za prisutnost aktivne korozije

U laboratorijskim ispitivanjima uglavnom se koristi konfiguracija prikazana na slici 4., koju propisuje norma ASTM G 109. U beton se ugrađuju tri šipke od armaturnog čelika između kojih se spaja otpornik i voltmetrom mjeri pad napona. Iz izmijerenog se pada napona prema Ohmovu zakonu računa korozionska struja. Mjerena se obavljuju dok makročeljska struja najmanje polovice uzoraka ne dosegne jakost od  $10 \mu A$ , što daje indikaciju da je armatura potpuno korodirana. Nakon završenog ispitivanja iz uzorka se vadi armatura i vizualno se pregledava kao potvrda mjerena [5].



Slika 4. Konfiguracija za mjerjenje struje makročelije prema ASTM G 109

Metoda mjerena struje korozionske makročelije pogodna je i za mjerena na konstrukciji. Primjenjuje se više različitih mjernih sustava. Sustav za mjerjenje prema Rau-pachu i Schiesslu [6] sastoji se od sonda izrađenih od mekog čelika i izoliranih oslonaca. Sonde se mogu ugraditi u novu konstrukciju ili u konstrukciju kojoj je potrebna sanacija, smještene su na različite dubine, čime je omogućeno mjerjenje napredovanja depasivacijske fronte.

### 2.1.3 Elektrokemijski šum

Elektrokemijski šum su fluktuacije potencijala i struje koji su spontano generirani procesom korozije. Potencijal korodirajuće armature može varirati malo (manje od 1 mV) u vremenskom intervalu reda veličine sekunde, te nekoliko stotina mV u razdoblju više dana i tjedana. Analiza fluktuacija potencijala nakon spektralnog raspavljanja može omogućiti ne samo otkrivanje korozije, već i karakterizaciju procesa korozije. Izmjereni signali mogu se analizirati primjenom matematičke analize. Strujni šum može se staviti u relaciju s općim stupnjem korozije, dok naponski šum sadrži više informacija o vrsti korozije. U slučaju kompleksnih tipova korozije kao što je metastabilna točkasta korozija i nestabilna pasivacija inducirana inhibitorom korozije, takva matematička analiza se pokazala bezuspješnom pa neki istraživači predlažu primjenu teorije kaosa na elektrokemiju procesa korozije [7, 8].

## 2.2 Polarizacijska mjerena

Karakteristika polarizacijskih mjerena jest da se na sustav djeluje signalom izvana te se prati odziv sustava. Postoje dva načina izvođenja polarizacijskih mjerena:

**Potenciostatička** - Na mjernoj se elektrodi uporabom posebnog uredaja - potenciostata uspostavlja određeni potencijal, a mjeri se struja odziva sustava.

**Galvanostatička** - na mjernoj elektrodi se s pomoću galvanostata uspostavlja određena struja i mjeri se napon odziva sustava.

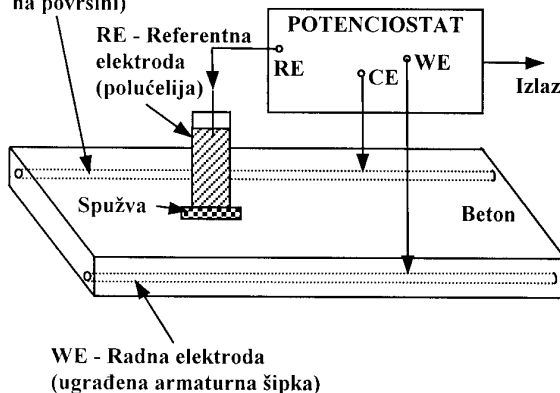
Naneseni potencijal odnosno struju moguće je s pomoću posebnog uredaja kontinuirano polako mijenjati i pratiti odziv, pa se u tom slučaju radi o potenciodinamičkim i galvanodinamičkim mjeranjima.

### 2.2.1 Velike amplitude

#### Taffelovi dijagrami

Primjenom vanjskog izvora napona čelična se armatura u betonu polarizira na potencijal  $\pm 250$  mV do  $\pm 300$  mV u odnosu prema koroziskom potencijalu te se mjeri struja odziva. Uredaj se sastoji od potenciostata i tri elektrode (slika 5.). Centralnom brojačkom elektrodom (CE) polarizira se armatura u betonu koja služi kao radna elektroda (WE). Referentna elektroda obično je kalomel ili srebro-srebrni klorid polućelija [9].

CE - Brojačka elektroda  
(ugrađena ili smještena  
na površini)



Slika 5. Shematski prikaz uredaja za polarizacijska mjerena

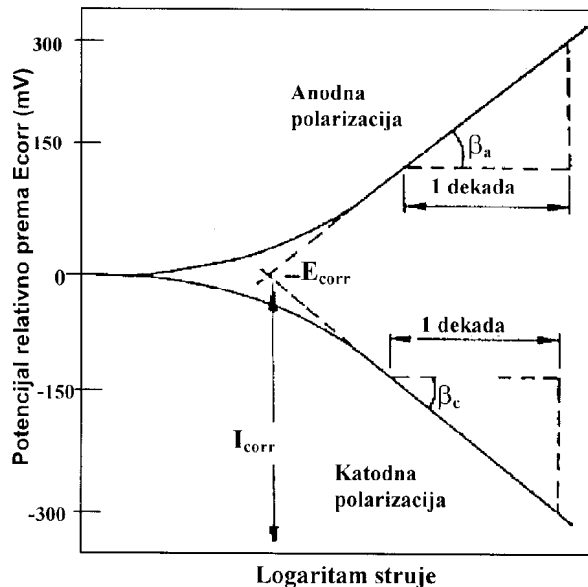
Pri mjerenu uzorak se najprije polarizira anodno (pozitivnim potencijalom) te odmah nakon toga katodno. Na taj se način dobije dijagram ovisnosti dobivene struje o primjenjenom potencijalu (tzv. Taffelov dijagram) (slika 6.). Linearni se dio Taffelova dijagraama ekstrapolira te presjek s  $E_{corr}$  daje struju korozije  $i_{corr}$ .

Metoda Taffelovih dijagrama široko se primjenjuje pri proučavanju korozije metala uronjenih u otopine, no kod armiranog betona nailazi se na teškoće. Primjena vanjskog potencijala u anodnom smjeru može izazvati točkastu koroziju, što mjerena čini destruktivnim. Katodnom polarizacijom dolazi do pogrešaka uzrokovanih kapacitivnim efektima. Zbog toga se metoda ne primjenjuje široko za određivanje stupnja korozije ( $i_{corr}$ ). Me-

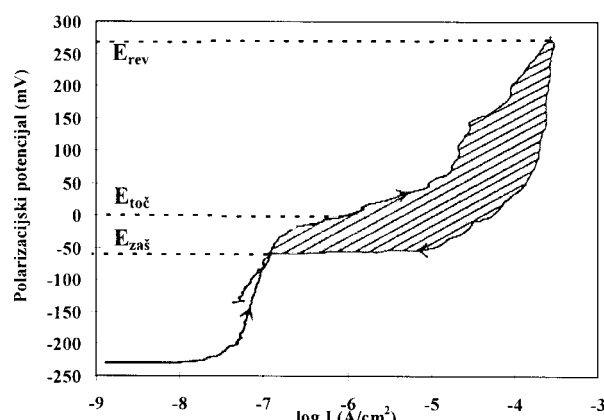
đutim, dobivaju se korisne informacije o djelovanju do-  
dataka betonu, identifikaciji kloridima izazvanog sloma pa-  
sivnog filma na čeliku, djelovanju inhibitora korozije [10].

### Ciklička polarizacija

Ciklička polarizacija su u osnovi Taffelovi dijagrami (slika 6.), ali je opseg primijenjenog potencijala drugačiji, a potencijal se nanosi i u suprotnom smjeru (slika 7.). Nanošenjem potencijala u oba smjera dobiva se petlja histereze. Za anodne se polarizacije na metalnoj površini razvija lokalna korozija, dok katodna polarizacija nastoji zaustaviti pokrenuti razvoj lokalne korozije. Mjerenja se uglavnom obavljaju u otopinama koje simuliraju pornu vodu betona sa soli u otopini ili bez nje. Metoda se rabi za određivanje tendencije za razvoj točkaste korozije [11]. Iz dijagrama na slici 7. može se odrediti točkasti potencijal ( $E_{toč}$ ) kao potencijal kod kojeg dolazi do nagle promjene struje.



Slika 6. Taffelov dijagram



Slika 7. Dijagram cikličke polarizacije

### 2.2.2 Male amplitude

#### Linearna polarizacija

Kod metode linearne polarizacije na uzorak se primjenjuje napon na isti način kao kod Taffelove metode, ali u mnogo manjem iznosu ( $E_{corr} \pm 25$  mV). Ovisnost struje o potencijalu bit će linearna:

$$i_{corr} = \frac{\beta_a \beta_c}{2,3(\beta_a + \beta_c)} \cdot \frac{\Delta i}{\Delta E} \quad (2)$$

Omjer struje primijenjene na armaturu i odzivnog potencijala  $E_{dev}$  daje polarizacijski otpor  $R_p$ :

$$R_p = \frac{\Delta E}{\Delta i} = \frac{B}{i_{corr}} \text{ gdje je: } B = \frac{\beta_a \beta_c}{2,3(\beta_a + \beta_c)} \quad (3)$$

Dobivena je Stern - Gearyeva relacija (4) iz koje se poznавajući vrijednost  $B$  može izračunati struja korozije [12, 13]:

$$i_{corr} = \frac{B}{R_p} \quad (4)$$

gdje je:

$i_{corr}$  - intenzitet korozije ( $\mu A/cm^2$ )

$B$  - vrijednost koja varira od 13 do 52 mV u većini metal/medij sustava.

$R_p$  - polarizacijski otpor ( $k\Omega$ )

Kada je određena struja korozije može se izračunati gubitak mase čelika primjenom Faradeyevog zakona:

$$\text{gubitak mase } [g/cm^2] = \frac{i_{corr} t W_m / V}{F} \quad (5)$$

gdje je:

$W_m$  - molekularna masa ( $g/mol$ )

$t$  - vrijeme ( $s$ )

$V$  - valencija

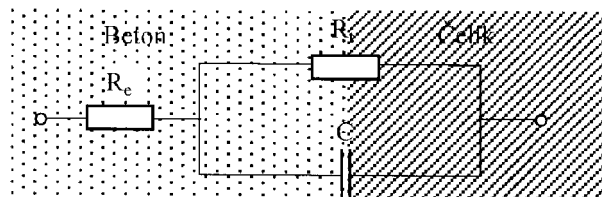
$F$  - Faradeyova konstanta ( $96500 C$ )

Kod metode linearne polarizacije zahvaljujući malom primjenjenom potencijalu, izbjegavaju se teškoće koje se pojavljuju kod metode Taffelovih dijagrama. Metoda je brza i sve se više primjenjuje za određivanje stupnja korozije.

#### Elektrokemijska impedancijska spektroskopija

Metoda elektrokemijske impedancijske spektroskopije koristi se polarizacijom izmjeničnom strujom. Uredaj koristi potenciostat koji snima i održava korozijski potencijal ( $E_{corr}$ ) i spektralni analizator za analizu izmjeničnog

signala. Armaturna mreža koja služi kao radna elektroda s pomoću potencijostata održava se na potencijalu  $E_{corr}$  i na nju se primjenjuje sinusni napon (10 do 20) mV u širokom frekvencijskom opsegu. Promatra se odziv na ulazni signal koji je također sinusnog oblika, no s određenim faznim pomakom u odnosu prema ulaznom signalu i različitom amplitudom. Elektrokemijski proces u betonu, posljedica kojeg je ovakvo ponašanje odzivnog napona, modelira se električnim krugom prikazanim na slici 8. [14].



Slika 8. Ekvivalentni krug za armirani beton

Impedancija ovakvog kruga dana je jednadžbom:

$$Z = R_e + \frac{R_t}{1 + j\omega cR_t} \quad (6)$$

gdje je:

$\omega$  - kutna frekvencija  $\omega=2\pi f(s^{-1})$

$j$  - imaginarna jedinica

$R_e$  - omski otpor betona (elektrolita) ( $\Omega$ )

$R_t$  - ukupni površinski otpor ( $\Omega$ )

$C$  - ukupni površinski kapacitet ( $\mu F$ ).

#### Galvanostatička impulsna metoda

Anodni strujni impuls kratkog trajanja (tipično 8 sekunda) primjenjuje se galvanostatički na armaturu i promatra se rezultirajuća promjena potencijala. Potencijal se mjeri s pomoću  $Cu/CuSO_4$  referentne elektrode i visokoimpedancijskog voltmetra [15]. Kada se strujni impuls  $i_{app}$  primjeni na korozijski sustav, potencijal  $V_t$  u danom se vremenu t može izraziti kao:

$$V_t = I_{app} [R_p [1 - \exp(-t/(R_p C_{dl})] + R_\Omega] \quad (7)$$

gdje je:

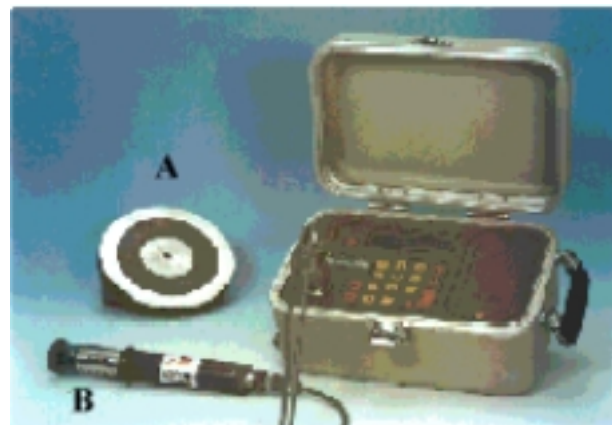
$R_p$  - polarizacijski otpor ( $\Omega$ )

$C_{dl}$  - kapacitet dvostrukog sloja ( $\mu F$ )

$R_\Omega$  - omski otpor ( $\Omega$ )

#### Određivanje korozije uređajem "GECOR 6"

"GECOR 6" je uređaj za mjerjenje stupnja korozije razvijen u projektu Eureka/Eurocare EU-401 i konstruiran je tako da omogućava mjerjenja *in situ* [16, 17]. Uređaj (slika 9.) sastoji se od kontrolnog dijela i dvaju senzora.



Slika 9. Uredaj "Gecor 6"

Senzor "A" sastoji se od tri bakar/bakreni sulfat referentne elektrode, dvije koncentrične brojačke elektrode od nehrđajućeg čelika i spužve. Senzor "B" sastoji se od bakar/bakreni sulfat referentne elektrode, brojačke elektrode sa spužvom i sondama za mjerjenja temperature i relativne vlažnosti.

Mjerena *in situ* omogućava dodatna koncentrična brojačka elektroda koja služi za ograničavanje područja mjerjenja, kako bi se dobio stvarni stupanj korozije. Sustav se postavlja električnim spajanjem na armaturu i postavljanjem senzora na betonsku površinu preko vlažne spužve, kako bi se omogućio električni kontakt. Uređajem se mogu mjeriti sljedeći parametri [18]:

- Gustoča korozijske struje  $I_{corr}$  ( $\mu A/cm^2$ )
- Polućelijasti potencijal  $E_{corr}$  (mV)
- Električna otpornost betona ( $k\Omega cm$ )
- Temperatura ( $^{\circ}C$ )
- Relativna vlažnost (% RH)

U tablici 3. dan je kriterij za određivanje stanja armaturnog čelika na osnovi struje korozije po jedinici površine armature (gustoće korozijske struje).

Tablica 3. Procjena stanja armature na osnovi mjerjenja gustoće korozijske struje

$I_{corr}$	Kriterij za procjenu
< 0,1 $\mu A/cm^2$	Nizak stupanj korozije
0,1-0,5 $\mu A/cm^2$	Nizak do srednjii stupanj korozije
0,5-1 $\mu A/cm^2$	Visok stupanj korozije
> 1 $\mu A/cm^2$	Vrlo visok stupanj korozije

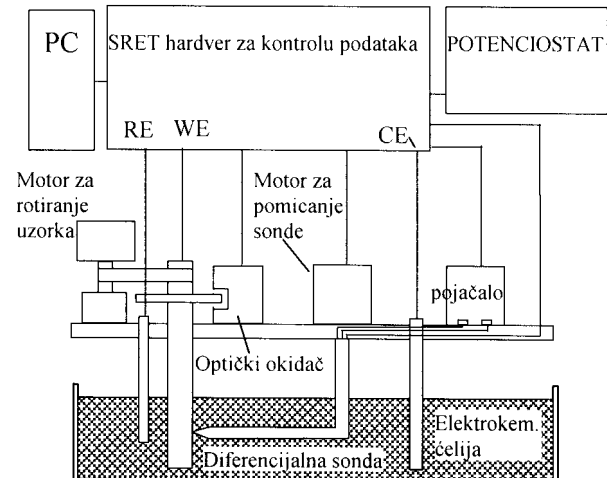
Dodatna mjerena koja služe za točniju interpretaciju rezultata jesu mjerena električne otpornosti betona. U tablici 4., dan je kriterij za procjenu stanja armature na osnovi otpornosti, koji su eksperimentalno utvrđili istraživači što su radili s uređajem "GECOR" [17].

Tablica 4. Stanje armature na osnovi mjerjenja otpornosti betona

Otpornost	Kriterij za procjenu
> 100 kΩcm	Nemoguće je razlikovati aktivni od pasivnog čelika - beton je previše suh.
50-100 kΩcm	Nizak stupanj korozije
10-50 kΩcm	Srednji do visok stupanj korozije
< 10 kΩcm	Otpornost više nije parametar koji određuje stupanj korozije

Metoda sa skenirajućom referentnom elektrodom (SRET)

Pri lokaliziranoj koroziji anodna se i katodna reakcija obično događa na odvojenim mjestima između kojih je razlika potencijala zanemariva zbog velike vodljivosti metala. U elektrolitu će ionski transport proizvesti male, ali mjerljive razlike potencijala, lokalno prema anodnim i katodnim mjestima. SRET metoda mjeri mikrogalvanske potencijale koji postoje lokalno prema površini materijala što se ispituje s pomoću posebno dizajnirane sonde koja skenira površinu. Metoda omogućuje dinamičku informaciju o korozionskoj aktivnosti, koja je dana varijacijama ionskog toka u elektrolitu na mikroskopskoj ljestvici. U tom pogledu SRET-om se može koristiti pri proučavanju pasivacije i u njezinu slomu, korozije na rubu zrna, pucanju pod naprezanjima zbog korozije. Slika 10. prikazuje shemu uređaja [19].



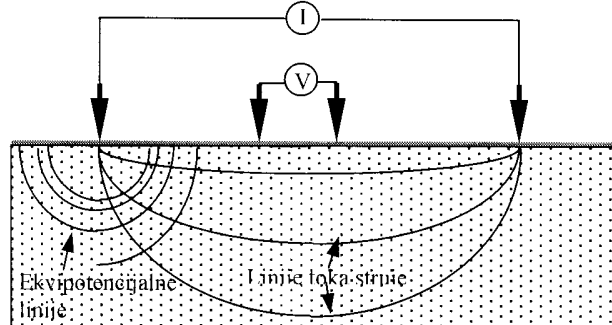
Slika 10. Uredaj sa skenirajućom referentnom elektrodom

### 3 Neelektrokemijske metode

#### 3.1 Električna otpornost betona

Mogućnost pojave korozije čelične armature u betonu ovisi o električnoj vodljivosti betona koja je povezana s udjelom porne vode i klorida u betonu. Stoga je na osnovi mjerjenja električne otpornosti betona moguće predviđati stupanj korozije čelične armature u betonu.

Danas najčešće rabljeni uređaj jest mjerač električne otpornosti sa 4 mjerne sonde, koje se direktno utisnu u beton uz uporabu vlage ili pogodnog gela da bi se osigurao električni kontakt (slika 11.). Uređaj radi tako da se kroz dvije vanjske elektrode pušta strujni tok i mjeri razlika potencijala između dviju unutarnjih elektroda [9].



Slika 11 Shematski prikaz Wennerova uređaja za mjerjenje električne otpornosti betona

Otpornost betona određuje jednadžba:

$$\text{Otpornost} = 2 \cdot R \cdot D \quad (\Omega \text{ cm}) \quad (8)$$

gdje je:

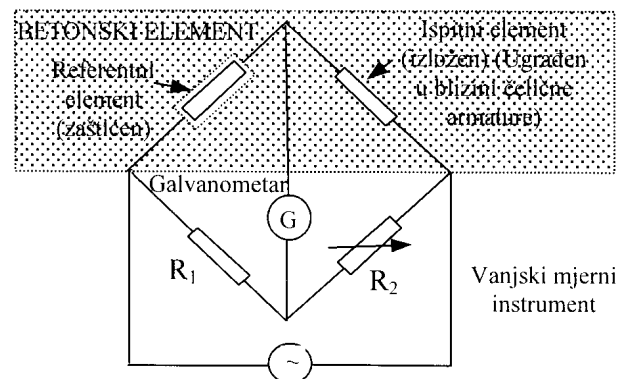
R - otpor zbog tzv. "iR" pada impulsa između elektrode senzora i armaturne mreže ( $\Omega$ )

D - promjer elektrode senzora (cm)

Mjerena električna otpornost korisna su dodatna mjerena da bi se definirala područja od interesa ili potvrdili rezultati za betone loše kvalitete. Rezultati se mogu uporabiti samo uz mjerena ostalim metodama [2].

#### 3.2. Električni otpor ugrađenih sonda

Ova je metoda bazirana na činjenici da je električni otpor materijala obrnuto proporcionalan njegovu presjeku. Pojavom korozije dolazi do smanjenja poprečnog presjeka armaturnog čelika i porasta otpora. Za mjerjenje se rabi Wheatstonov most (slika 12.). Mjerjenje promjene otpora provodi se između sonde izložene koroziji (smještene u betonu blizu armature) i zaštićene sonde koja se također



Slika 12. Shematski dijagram sustava za mjerjenje korozije pomoću električnog otpora sonda uloženih u beton

nalazi u betonu. Omjer otpora tih dviju sonda jest mjerilo za promatranje stupnja korozije i dan je relacijom:

$$\frac{R_e}{R_p} = \frac{K_e / t_e}{K_p / t_p} \quad (9)$$

gdje je:

$R_e$  i  $t_e$  - otpor i promjer izložene sonde ( $\Omega$ ), (cm)

$R_p$  i  $t_p$  - otpor i promjer zaštićene sonde ( $\Omega$ ), (cm)

$K_e$  i  $K_p$  - konstante

Ove sonde omogućuju periodično promatranje korozione aktivnosti. Zbog praktične nemogućnosti postavljanja velikog broja sonda po cijeloj konstrukciji metoda je ograničena na mjerjenje samo kritičnih točaka konstrukcije. Drugi nedostatak jest taj što se ne mjeri korozija same armature nego sonde, što ne mora dati pravu sliku korozije armaturnog čelika. Primjena metode korisna je u konstrukcijama gdje armaturni čelik nije dostupan, poput konstrukcija u vodi i tunela. Naročito se primjenjuje kod konstrukcija u morskoj vodi, podzemnih konstrukcija, kemijskih postrojenja i svuda gdje je jak "napad" klorida.

### 3.3 Vizualni pregled

Vizualna detekcija korozije promatranjem vanjskih uvjeta jest najočitija metoda za procjenjivanje korozije armaturnog čelika u betonu. U ranim fazama vanjskih vidljivih oštećenja, hrđa se neće vidjeti, no na površini betona mogu se uočiti fine, tanke pukotine, debljine vlasti kose. Potrebno je vršiti vrlo pažljivo motrenje jer ove pukotine nije jednostavno detektirati, čak niti iškusnim promatračima. Interpretacija se zasniva isključivo na znanju i iskustvu osobe koja obavlja pregled. Postoje i ekspertni sustavi koji vode neiskusnog inženjera ili tehničara kroz različite vrste oštećenja na armiranobetonskim konstrukcijama. Unaprijed planirani vizualni pregled tijekom uporabe objekta veoma je koristan i pravodobno upozorava na pojavu korozije armature [2].

### 3.4 Ubrzano ispitivanje korozije prema normi JIS A 6025

Metoda se primjenjuje pri ispitivanju efikasnosti inhibitora korozije [11, 21]. Ispitivanje se provodi u tri faze:

a) Ispitivanje čelične armature uranjanjem u slanu uvodu.

Čelična se armatura nalazi uronjena u posebno pripravljenu otopinu soli. U određenim vremenskim razmacima mjere se prirodni elektrodni potencijali i obavlja vizualno utvrđivanje korozije.

b) Ispitivanje ubrzane korozije kod čelične armature u betonu.

Za ispitivanje se izrađuju cilindrični betonski uzorci s ugrađenim armaturnim šipkama i s dodanim solima i inhibitorima korozije u svježi beton. Norma propisuje držanje uzorka u autoklavnoj posudi u uvjetima zasićene vodene pare pri tlaku od 10 bara i temperaturi 180°C. Na ovaj način dolazi do ubrzane korozije armature. Nakon dva ciklusa u autoklavu, armatura se vadi i mjeri se korodirana površina. Računa se stupanj prevencije korozije:

Stupanj prevencije korozije =

$$= \frac{\sum P_{0,z} - \sum I_{0,z}}{\sum P_{0,z}} \times 100 [\%] \quad (10)$$

gdje je:

$P_{0,z}$  - ukupna korodirana površina 6 armaturnih šipki za beton tretiran inhibitorom ( $\text{mm}^2$ )

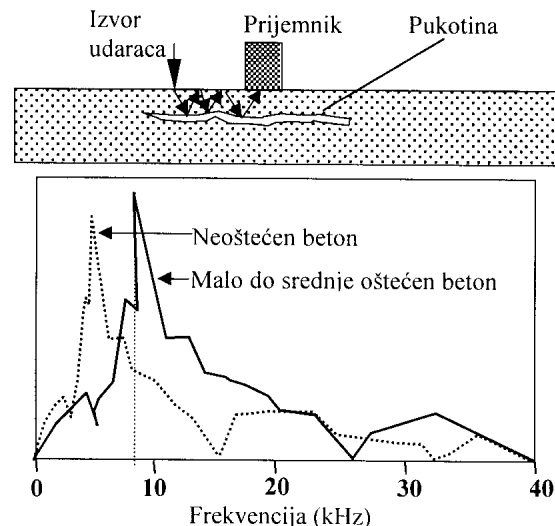
$I_{0,z}$  - ukupna korodirana površina 6 armaturnih šipki netretiranih inhibitorom korozije ( $\text{mm}^2$ )

c) Ispitivanje vremena vezivanja i tlačne čvrstoće betona

Uspoređuje se razlika u vremenu vezivanja i razlika u tlačnoj čvrstoći uzorka s dodanim inhibitorom korozije i uzorkom bez dodanog inhibitora korozije.

### 3.5 Seizmička metoda

Najjednostavnija primjena ove metode jest udaranje čekićem po površini betona, pri čemu se unutarnje pukotine i odlananja betona detektiraju karakterističnim šupljim zvukom. Po površini betona se može vući i lanac, pri čemu se također prati promjena zvuka.



Slika 13. Odziv signala za različite stupnjeve oštećenja betona

Danas su razvijene instrumentalne metode koje imaju prednost zbog puno veće preciznosti i mogućnosti otkrivanja početnih oštećenja. Uređaj se sastoji od mehaničkog udarača ili piezo-električnog uređaja koji generira multifrekvenčni akustični signal, akcelerometra koji detektira dio energije upadnog vala koji se reflektirao na unutarnjim pukotinama i digitalne jedinice za prikupljanje i spektralnu analizu podataka. Različiti tipovi defekata mogu imati različite spektralne "potpise" koji omogućuju identifikaciju pukotina i odlamanja u betonu. Slika 13. prikazuje rezultate ispitivanja ploče mosta, gdje metoda nalazi najveću primjenu [22]. Iz omjera brzine kompresijskog vala  $V_p$  i dvostrukе povratne frekvencije  $f_T$  računa se debljina betonske ploče. U slučaju delaminacija (lisnatosti) u konstrukciji val se reflektira na manjoj dubini, pa je frekvencija povratnog vala viša nego za neoštećenu ploču.

### 3.6 Infracrvena termografija

Metoda infracrvene termografije zasniva se na principu da prisutnost pogrešaka u materijalu mijenja tok topline i djeluje na temperaturu površine, na osnovi čega se mogu odrediti položaji skrivenih oštećenja. Glavni dijelovi uređaja za infracrvenu termografiju su infracrvena kamera, sustav za skeniranje i sistem za prikupljanje podataka. Metoda se preporučuje za ispitivanja velikih površina betona, kao što su ploče mostova i sl. Moguće je skenirati i više od 100 m<sup>2</sup> u minuti [9].

### 3.8 Akustična emisija

Akustična emisija jest pojava elastičnih valova koji su generirani brzim otpuštanjem energije iz lokaliziranih izvora u materijalu. Proizvodi korozije zauzimaju veći obujam od čelika, što uzrokuje lokalne koncentracije naprezanja u betonu. Kada naprezanja postanu veća od vlačne čvrstoće betona dolazi do pucanja betona i dio

elastične energije se disipira u kinetičku energiju u obliku elastičnih valova. Elastični se valovi šire do površine betona, gdje se mogu detektirati s pomoću piezoelektričnih senzora.

Dobiveni se električni signali filtriraju, pojačavaju i obrađuju. Prednosti su metode što je za detekciju dovoljno postaviti mali broj piezoelektričnih senzora i u sustav se ne unosi nikakav signal koji bi mogao utjecati na njegovo ponašanje [23].

## 4 Zaključak

U radu su opisane danas najviše primjenjivane metode za određivanje stanja armature u betonu. Usposrednom različitim pristupa može se zaključiti da nerazorne metode imaju prednost pred razornim metodama jer omogućavaju kontinuirano praćenje stanja armature, mjerenja su moguća po cijeloj armiranobetonskoj konstrukciji, brze su i zahtijevaju manje troškova. Kod razornih metoda korozija armaturnog čelika može se izravno ustanoviti, ali ograničeni smo na određene točke konstrukcije i nemoguće je dobiti podatke za cijelu konstrukciju. S druge strane valja imati na umu da je određivanje stanja armaturnog čelika nerazornim metodama vrlo kompleksan problem i mogućnost pogrešne interpretacije rezultata mjerjenja je velika. Upravo su zbog toga u radu naglašeni opis: elektrokemijskih procesa u armiranom betonu i uzročnici koji mogu dovesti do pogrešne procjene stanja armature. Iz ovoga slijedi da je u primjeni potrebno kombinirati više istraživačkih metoda kako bi se na najmanju moguću mjeru svela mogućnost pogreške. Tek na taj način može se dobiti jasna indikacija o uzrocima oštećenja i procijeniti stanje armature.

Većina opisanih metoda primjenjuje se na Građevinskom fakultetu Sveučilišta u Zagrebu i u Institutu građevinarstva Hrvatske u Zagrebu.

## LITERATURA

- [1] Ayala, V.; Ingalls, A.; Genesca, J.: *Mathematical Modeling of Rebar Corrosion in Seawater*, InterCorr/96, the 1<sup>st</sup> Online Corrosion Conference, 1996.
- [2] Sagüés, A.A.: *Corrosion Measurement Techniques for Steel in Concrete*, Corrosion 93, The NACE Annual Conference and Corrosion Show, paper No 353, 1993., str. 1.-22.
- [3] Nagayama, M.; Tamura, H.; Shimozawa K.: *Corrosion Monitoring Using Embedded Minisensors on Rebars in Concrete Rehabilitated with a VCI*, general Building Research Corporation of Japan 5-8-1, Fujishirodai, Suita, Osaka, Japan.
- [4] Elsener, B.; Böhni, H.: *Potential Mapping and Corrosion of Steel in Concrete, Corrosion Rates of Steel in Concrete*, ASTM STP 1065, N.S. Berke, V. Chaker, D. Whiting, EDS., American Society for Testing and Materials, Philadelphia, 1990, str. 143.-156.
- [5] Tourney, P.; Berke N.: *A Call for Standardized tests for Corrosion Inhibiting Admixtures*, Concrete International, April 1993., str. 57.-62.
- [6] Schiessl, P.; Raupach, M.: *Monitoring System for the Corrosion Risk of Steel in Concrete Structures*, Concrete International, 1992., 7, str. 52.-55.
- [7] Katwan M.J.; Hodgiess T.; Arthur P.D.: *Electrochemical Noise Technique for the Prediction of Corrosion Rate of Steel in Concrete Materials and Structures*, Vol29, June 1996, str. 286.-294.
- [8] Legat, A.; Osredkar, J.; Kuhar, V.; Leban, M.: *A Comparison between the Results of Measurements of Electrochemical Noise and Simultaneous Measurements of Corroded Surfaces*, EMCR 97, Trento, 1997.

- [9] Devalapura, R. K.; Kamel, M.R.; Arumugasaamy, P.: *Nondestructive Techniques for Corrosion Evaluation of Steel in Concrete, Corrosion and Corrosion Protection of Steel in Concrete*, Proceedings of International Conference held at the University of Sheffield, Vol 1, July 1994., str. 300.-309.
- [10] Abdul-Hamid, J. Al-Tayyib; Mohammad Shammim Khan, *Corrosion Rate Measurements of Reinforcing Steel in Concrete by Electrochemical Techniques*, ACI Materials Journal, May-June 1988., str. 172.-177.
- [11] Bjegović, D.; Mksic, B.; Stehly R.: *Test Protocols for Migrating Corrosion Inhibitors (MCI) in Reinforced Concrete*, Emerging Trends in Corrosion Control - Evaluation, Monitoring, Solutions, Vol 1, Akademia Books International and NACE International, India Section, New Delhi, India 1999. str. 3.-18.
- [12] Bjegović, D.: *Elektrokemijski aspekti korozije armiranog betona*, Građevinar, vol. 51, br 7, 1994., str. 405.-415.
- [13] Andrade, C.; Alonso, C.: *Corrosion Rate Monitoring in the Laboratory and on Site*, Construction and Building Materials, Vol. 10, No. 4, 1996., str. 315.-328.
- [14] Lemoine, L.; Wenger F.; Galland J.: *Study of the Corrosion of Concrete Reinforcement by Electrochemical Impedance Measurement*, Corrosion rates of Steel in Concrete, ASTM STP 1065, N.S. Berke, V. Chaker, and D. Whiting, Eds., American Society for Testing and Materials, Philadelphia, 1990., pp. 118.-133.
- [15] Elsener, B.; Wojtas H.; Bohni H.: *Galvnostatic Pulse Measurements - Rapid on Site Corrosion Monitoring*, Proceedings of International Conference held at the University of Sheffield, 24 - 28 July, 1994., Vol 1, str. 236.-246.
- [16] Broomfield, J. P.; Rodriguez, J.; Ortega, L. M.; Garcia, A. M.: *Corrosion Rate and Life Prediction for Reinforced Concrete Structures*, GEOCISA Spain, Structural Faults and Repairs Symposium, June 1993.
- [17] Broomfield, J. P.; Rodriguez J.; Ortega L. M.; Garcia A. M.: *Corrosion Rate Measurements in Reinforced Concrete Structures by a Linear Polarization Device*, GEOCISA Spain, Philip D.Cady International Symposium on The Condition Assessment, Protection, Repair and Rehabilitation of Concrete Bridges Exposed to Aggressive Environments, ACI fall Convention, Minneapolis, Minnesota, November 1993.
- [18] Erić, Lj.; Bjegović, D.: *Korozijski monitoring mjerjenjem brzine korozije armature u armirano betonskim konstrukcijama*, Ceste i mostovi, god. 45 ,1999. br. 3-4, str. 79.-84.
- [19] Akid, R.: *Application of the Scanning Reference Electrode Technique to the Study of Steel Corrosion in a Cement-based Coating*, Conference held at the University of Sheffield, 24.-28. July, 1994. Vol 1, str. 278.-289.
- [20] Broomfield, J. P.: *Assesing Corrosion Damage on Reinforced Concrete Structures*, Proceedings of International Conference held at the University of Sheffield, 24-28 July, 1994. Vol 1, str. 1.-25.
- [21] Bjegović, D.; Mavar, K., *Ispitivanje ubrzane korozije armature u betonu*, (rad u pripremi za objavu)
- [22] Gucinski N.; Maher, A.: *Nerazorna ispitivanja seizmičkim metodama za optimalno održavanje i gospodarenje cestama*, Zbornik radova, Drugi hrvatski kongres o cestama, 24.-27. listopada 1999., knjiga 1, str. 211.-218.
- [23] Hartt, W.; Dunn, S; Weng, M.; Brown, R.: *Application of Acoustic Emission to Detection of Reinforcing Steel Corrosion in Concrete*, Paper No. 49, Corrosion/81, National Assoc. of Corrosion Engineers, Houston, 1981.

Slika 1. Shematski prikaz metoda za određivanje stanja armature u betonu